



La



AB 1630

Sprawozdanie z pomiarów pól elektromagnetycznych - środowisko nr 43/06/OŚ/2023 - ELT



Nr i nazwa stacji	BT44204_BYDGOSZCZ_PRZYLESIE
Adres	ul. Gen. M. Bołtucia 5, 85-791 Bydgoszcz, Kościół Parafii p.w. Matki Boskiej Królowej Męczenników, woj. kujawsko-pomorskie
Opracowanie	
Autoryzacja	
Podpis	
Data	2023-06-23

Spis treści

1. Informacje ogólne.....	3
2. Podstawa prawna.	3
3. Opis pomiarów.....	3
4. Zróżnicowanie dopuszczalne poziomy pól elektromagnetycznych.	5
5. Charakterystyka źródeł PEM.....	5
6. Wyniki pomiarów.....	5
7. Stwierdzenie zgodności	5
8. Oświadczenie.	7
9. Spis załączników.	7

1. Informacje ogólne.

Zleceniodawca	Axians Networks Poland Sp. z o.o. [redacted] Warszawa [redacted] sji –
Istotne informacje dostarczone przez klienta	komplet informacji niezbędnych do wykonania pomiarów i opracowania sprawozdania
Dane otrzymane od klienta mogące mieć wpływ na ważność wyników	Dane anten sektorowych, dane anten radioliniowych, parametry pracy instalacji, poprawka pomiarowa, ustawienie pochylenia anten
Prowadzący instalację	TOWERLINK POLAND SP. z.o.o., ul. Kasprzaka 4, 01-211 Warszawa
Lokalizacja obiektu	ul. Gen. M. Bortucia 5, 85-791 Bydgoszcz, Kościół Parafii p.w. Matki Boskiej Królowej Męczenników, woj. kujawsko-pomorskie
Miejsce instalacji anten	Kościół
Miejsce instalacji urządzeń	Indoor
Osoby wykonujące pomiar	[redacted]
Data wykonania pomiaru	23.06.2023
Temperatura na początku pomiaru [°C]	17,0
Temperatura na koniec pomiaru [°C]	17,0
Warunki atmosferyczne	Brak opadów
Wilgotność na początku pomiaru [%]	85,0
Wilgotność na koniec pomiaru [%]	87,0
Godzina na początku pomiaru	10:28
Godzina na koniec pomiaru	11:44
Inne źródła pól elektromagnetycznych oznaczone na załączniku graficznym	Występują
Parametry pracy instalacji	Tryb eksploatacyjny

2. Podstawa prawna.

2.1 Normy i rozporządzenia:

- Obwieszczenie Ministra Klimatu i Środowiska z dnia 21 listopada 2022 r. w sprawie ogłoszenia jednolitego tekstu rozporządzenia Ministra Klimatu w sprawie sposobów sprawdzania dotrzymania dopuszczalnych poziomów pól elektromagnetycznych w środowisku (Dz.U. 2022 poz. 2630)
- Rozporządzenie Ministra Zdrowia z dnia 17 grudnia 2019 r. w sprawie dopuszczalnych poziomów pól elektromagnetycznych w środowisku (Dz.U. 2019 poz. 2448)
- Obwieszczenie Marszałka Sejmu Rzeczypospolitej Polskiej z dnia 1 grudnia 2022 r. w sprawie ogłoszenia jednolitego tekstu ustawy - Prawo ochrony środowiska (Dz.U. 2022 poz. 2556).

3. Opis pomiarów

Metodologia pomiarowa	Pomiary w oparciu o Rozporządzenie Ministra Klimatu z dnia 17 lutego 2020 r. w sprawie sposobów sprawdzania dotrzymania dopuszczalnych poziomów pól elektromagnetycznych w środowisku (Dz.U. 2022 poz. 2630).
Cel badań	Określenie wartości natężenia pola elektrycznego w miejscach dostępnych dla ludności.
Opis zestawu pomiarowego	Miernik Narda NBM 550, Sonda EF-6092, o zakresie pomiarowym 0,7 V/m – 300V/m pracująca w paśmie 0,1 – 90 GHz, świadectwo wydane przez Laboratorium Wzorców i Metrologii Pola Elektromagnetycznego, Instytut Telekomunikacji, Teleinformatyki i Akustyki Politechniki Wrocławskiej. Świadectwo ważne do 10.06.2024 r. Miernik Narda NBM 550, Sonda EF-6092 pracująca w zakresie temperatury -10°C - +50°C oraz wilgotności 5% - 95% Niepewność rozszerzona wynosi 58,8% przy poziomie ufności 95% z uwzględnieniem współczynnika rozszerzenia k=2.
Wyposażenie pomocnicze	Termohigrometr Bestone, Nr. inwentarzowy 03/WL, nr identyfikacyjny 1222436, typ: GM1362-EN-00, świadectwo wzorcowania z dn. 22.12.2015 r. wydane przez Laboratorium Pomiarowe „MUTECH”. Przymiar wstępowy STABILA, Nr. inwentarzowy 06/WL, nr identyfikacyjny 06WL, świadectwo wzorcowania z dn. 22.09.2021 r. wydane przez Zespół Laboratoriów wzorcujących Okręgowego Urzędu Miar w Gdyni. GPS Garmin 64s okresowo sprawdzany w punktach osnowy geodezyjnej klasy 3 na podstawie licencji punktu, zgodnie z procedurą sprawdzeń okresowych IS/PO-16-11/03.
Pomiary zostały wykonane	<ol style="list-style-type: none">1. na głównych i pomocniczych kierunkach pomiarowych, na kierunkach zbliżonych do azymutów anten oraz w dodatkowych pionach pomiarowych zgodnie z wymaganiami pkt 12, 13, 14 i 19 Rozporządzenia Ministra Klimatu z dnia 17 lutego 2020 r. (Dz.U. 2022 poz. 2630).2. na obszarze pomiarowym, dla którego, na podstawie uprzednio przeprowadzonych obliczeń stwierdzono w miejscach dostępnych dla ludności występowanie pól elektromagnetycznych o najwyższym poziomie, które pochodzą z badanej instalacji zgodnie z wymaganiami pkt 5 ppkt 2 oraz pkt 13 ppkt 1 Rozporządzenia Ministra Klimatu z dnia 17 lutego 2020 r. w sprawie sposobów sprawdzania dotrzymania dopuszczalnych poziomów pól elektromagnetycznych w środowisku (Dz.U. 2022 poz. 2630). Wyniki obliczeń nie uwzględniały parametrów pracy instalacji innych operatorów występujących na obiekcie bądź w obszarze pomiarowym.3. w miejscach dostępnych dla ludności.4. miejsca niedostępne podczas wykonywania pomiarów wskazane zostały w pkt 6 (tabeli wyniki pomiarów)
Szczególne warunki podczas wykonywania pomiarów	Pomiary wykonane zostały podczas obowiązywania w kraju stanu zagrożenia epidemicznego, zgodnie z art. 122a ust. 1b Ustawy z dnia 27 kwietnia 2001 r. – Prawo ochrony środowiska (Dz. U. z 2019 r. poz. 1396, z późn. zm.9))
Warunki pracy urządzeń nadawczych	Tryb pracy eksploatacyjny.

4. Zróznicowanie dopuszczalne poziomy pól elektromagnetycznych.

Zakresy znajdują się w Dzienniku Ustaw z dnia 17 grudnia 2019 r. przedstawione są w tabeli nr 2 (Dz. U. z 2019r. poz. 2448).

Parametr fizyczny	Składowa elektryczna E (V/m)	Składowa magnetyczna H (A/m)	Gęstość mocy S (W/m ²)
Zakres Częstotliwości pola elektromagnetycznego			
od 400 MHz do 2000 MHz	$1,375 \times f^{0,5}$	$0,0037 \times f^{0,5}$	f / 200
od 2 GHz do 300 GHz	61	0,16	10

5. Charakterystyka źródeł PEM.

Zgodnie z informacją otrzymaną od Klienta pomiary zostały wykonane przy ustawieniach pochylenia anten zgodnych z pkt. 13, ppkt 2 Rozporządzenia Ministra Klimatu z dnia 17 lutego 2020 roku.

Tabela 1. Anteny sektorowe - dane otrzymane od klienta

Typ anteny	Współrzędne geograficzne	Azymut mechaniczny [°]	Azymut elektryczny [°]	Wysokość środka elektrycznego anten n.p.t. [m]	Pasmo częstotliwości	Zakres pochylenia elektrycznego [°]	Średnie pochylenie anten (ustawione do pomiarów PEM) [°]	Kąt pochylenia mechanicznego [°]	Moc EIRP [W]	Suma EIRP [W]
AQU4518R11V07	53°09'15.84"N 18°08'04.92"E	120	120	24,3	1800	2-12	7,0	0	2940	21513
					2100	2-12	7,0	0	4370	
					2600	2-12	7,0	0	9131	
					900	2-12	7,0	0	5072	
AQU4518R11V07	53°09'15.84"N 18°08'04.92"E	237	237	24,3	1800	2-12	7,0	0	2841	21132
					2100	2-12	7,0	0	4210	
					2600	2-12	7,0	0	9131	
					900	2-12	7,0	0	4950	

Tabela 2. Anteny radioliniowe- dane otrzymane od klienta

Typ anteny	Współrzędne geograficzne	Azymut [°]	Średnica [m]	Pasmo częstotliwości [GHz]	Zysk energetyczny [dBi]	Moc wyjściowa nadajnika [dBm]	EIRP [W]	Wysokość środka elektrycznego anten n.p.t. [m]
ANT2 A 0.3 80 HP	53°09'15.84"N 18°08'04.92"E	221	0,3	80	46,5	5	141,25	18,0

6. Wyniki pomiarów.

Wyniki pomiarów pól elektromagnetycznych dla celów ochrony środowiska przedstawia poniższa tabela. Piony pomiarowe zostały przedstawione w zał. 2.

Nr PP	Pole-E [V/m]	Pole-E, +U [V/m]	Pole-H [A/m]	Pole-H +U [A/m]	Wys. pomiaru [m]	Opis pionu	Uwagi	WM _E	WM _H
1	3,6	5,72	0,010	0,015	0,3-2,0	N:53°09'13.7" E:18°08'07.5"	otoczenie stacji bazowej - 50m wzdłuż gł. osi promieniowania - GKP	0,204	0,208
2	2,4	3,81	0,006	0,010	0,3-2,0	N:53°09'12.9" E:18°08'09.8"	otoczenie stacji bazowej - 100m wzdłuż gł. osi promieniowania - GKP	0,136	0,138
3	2,1	3,33	0,006	0,009	0,3-2,0	N:53°09'12.1" E:18°08'12.2"	otoczenie stacji bazowej - 150m wzdłuż gł. osi promieniowania - GKP	0,119	0,121
4	2,9	4,61	0,008	0,012	0,3-2,0	N:53°09'11.3" E:18°08'14.4"	otoczenie stacji bazowej - 200m wzdłuż gł. osi promieniowania - GKP	0,164	0,167
5	3,2	5,08	0,008	0,013	0,3-2,0	N:53°09'10.6" E:18°08'16.5"	otoczenie stacji bazowej - 243m wzdłuż gł. osi promieniowania - GKP	0,181	0,185

„Bez pisemnej zgody Laboratorium niniejsze sprawozdanie nie może być powielane inaczej, jak tylko w całości. Ponadto wyniki dotyczą tylko badanych obiektów przywołanych w niniejszym sprawozdaniu z badań”

6	1,5	2,38	0,004	0,006	0,3-2,0	N:53°09'13.5" E:18°08'02.8"	otoczenie stacji bazowej - 50m wzdłuż gł. osi promieniowania - GKP	0,085	0,087
7	2,2	3,49	0,006	0,009	0,3-2,0	N:53°09'12.7" E:18°08'00.6"	otoczenie stacji bazowej - 100m wzdłuż gł. osi promieniowania - GKP	0,125	0,127
8	2,9	4,61	0,008	0,012	0,3-2,0	N:53°09'11.8" E:18°07'58.5"	otoczenie stacji bazowej - 150m wzdłuż gł. osi promieniowania - GKP	0,164	0,167
9	0,7*	1,27	0,002	0,003	0,3-2,0	N:53°09'10.9" E:18°07'56.2"	otoczenie stacji bazowej - 200m wzdłuż gł. osi promieniowania - GKP	0,045	0,046
10	0,7*	1,27	0,002	0,003	0,3-2,0	N:53°09'10.2" E:18°07'54.5"	otoczenie stacji bazowej - 243m wzdłuż gł. osi promieniowania - GKP	0,045	0,046
11	1,5	2,38	0,004	0,006	0,3-2,0	N:53°09'13.3" E:18°08'03.3"	otoczenie stacji bazowej - 50m wzdłuż gł. osi promieniowania - GKP	0,085	0,087
12	1,2	1,91	0,003	0,005	0,3-2,0	N:53°09'12.1" E:18°08'01.7"	otoczenie stacji bazowej - 100m wzdłuż gł. osi promieniowania - GKP	0,068	0,069
13	0,7*	1,27	0,002	0,003	0,3-2,0	N:53°09'14.6" E:18°08'00.9"	otoczenie stacji bazowej - GKP	0,045	0,046
14	0,7*	1,27	0,002	0,003	0,3-2,0	N:53°09'16.2" E:18°08'00.8"	otoczenie stacji bazowej - GKP	0,045	0,046
15	1,3	2,06	0,003	0,005	0,3-2,0	N:53°09'15.9" E:18°08'03.1"	otoczenie stacji bazowej -PKP	0,074	0,075
16	1,2	1,91	0,003	0,005	0,3-2,0	N:53°09'17.2" E:18°08'04.6"	otoczenie stacji bazowej -PKP	0,068	0,069
17	1,6	2,54	0,004	0,007	0,3-2,0	N:53°09'17.0" E:18°08'06.6"	otoczenie stacji bazowej -PKP	0,091	0,092
18	2,1	3,33	0,006	0,009	0,3-2,0	N:53°09'15.4" E:18°08'06.8"	otoczenie stacji bazowej - GKP	0,119	0,121
19	1,9	3,02	0,005	0,008	0,3-2,0	N:53°09'14.8" E:18°08'09.4"	otoczenie stacji bazowej - GKP	0,108	0,110
20	1,8	2,86	0,005	0,008	0,3-2,0	N:53°09'12.1" E:18°08'07.6"	otoczenie stacji bazowej - GKP	0,102	0,104
21	2,3	3,65	0,006	0,010	0,3-2,0	N:53°09'12.8" E:18°08'05.9"	otoczenie stacji bazowej - GKP	0,130	0,133
A	3,3	5,24	0,009	0,014	0,3-2,0	N:53°09'14.2" E:18°08'07.9"	Gen. Bołtucia 2, pomiar przed budynkiem -DPP	0,187	0,190
B	2,0	3,18	0,005	0,008	0,3-2,0	N:53°09'15.8" E:18°08'08.3"	Gen. Bołtucia 4, pomiar przed budynkiem -DPP	0,113	0,115
C	1,5	2,38	0,004	0,006	0,3-2,0	N:53°09'14.6" E:18°08'05.3"	Kościół, pomiar przed budynkiem - DPP	0,085	0,087
D	1,3	2,06	0,003	0,005	0,3-2,0	N:53°09'15.7" E:18°08'02.8"	Gen. Bołtucia 5, pomiar przed budynkiem -DPP	0,074	0,075
E	1,0	1,59	0,003	0,004	0,3-2,0	N:53°09'17.1" E:18°08'02.7"	Gen. Bołtucia 7, pomiar przed budynkiem -DPP	0,057	0,058
F	2,9	4,61	0,008	0,012	0,3-2,0	N:53°09'12.0" E:18°07'58.5"	Wańkowicza 6, pomiar przed budynkiem -DPP	0,164	0,167
G	0,7*	1,27	0,002	0,003	0,3-2,0	N:53°09'11.1" E:18°07'55.7"	Wańkowicza 4, pomiar przed budynkiem -DPP	0,045	0,046
H	0,7*	1,27	0,002	0,003	0,3-2,0	N:53°09'10.4" E:18°07'54.4"	Wańkowicza 2, pomiar przed budynkiem -DPP	0,045	0,046

Wynik pomiaru pole - E [V/m] - maksymalna wartość chwilowa zmierzona w danym pionie pomiarowym (uśredniona na podstawie punktu 11 załącznika do Rozporządzenia Ministra Klimatu z dnia 17 lutego 2020 r. w sprawie sposobów sprawdzania dotrzymania dopuszczalnych poziomów pól elektromagnetycznych w środowisku (Dz.U. 2022 poz. 2630)). Zgodnie z pkt. 7 załącznika do Rozporządzenia Ministra Klimatu z dnia 17 lutego 2020 r. w sprawie sposobów sprawdzania dotrzymania dopuszczalnych poziomów pól elektromagnetycznych w środowisku (Dz.U. 2020 poz. 258, Dz.U. 2022 poz. 1121) nie stosuje się poprawek pomiarowych.

Przyjęto najniższą dopuszczalną wartość składowej elektrycznej pola dla objętego pomiarami zakresu częstotliwości $\min(ME_{gr}) = 28 \text{ V/m}$ oraz składowej magnetycznej $\min(MH_{gr}) = 0,073 \text{ A/m}$.

* - wartość zmierzona poniżej zakresu akredytacji. Do obliczeń przyjęto wartość zgodną z dolną granicą akredytowanego zakresu pomiarowego metody.

GKP - główne kierunki pomiarowe

PKP - pomocnicze kierunki pomiarowe

DPP - dodatkowe punkty pomiarowe

PP - pion pomiarowy

U - niepewność pomiarowa rozszerzona, przy poziomie ufności 95%, z uwzględnieniem współczynnika rozszerzenia $k=2$

WM_E - wartość wskaźnikowa poziomu emisji pól elektromagnetycznych dla miejsc dostępnych dla ludności dla składowej elektrycznej pola

„Bez pisemnej zgody Laboratorium niniejsze sprawozdanie nie może być powielane inaczej, jak tylko w całości. Ponadto wyniki dotyczą tylko badanych obiektów przywołanych w niniejszym sprawozdaniu z badań”

7. Stwierdzenie zgodności

Na podstawie wytycznych podanych w Rozporządzeniu Ministra Zdrowia z dnia 17 grudnia 2019 r. w sprawie dopuszczalnych poziomów pól elektromagnetycznych w środowisku (Dz.U. 2019 poz. 2448) oraz sposobów sprawdzania dotrzymania tych poziomów zgodnie z Rozporządzeniem Ministra Klimatu z dnia 17 lutego 2020 r. w sprawie sposobów sprawdzania dotrzymania dopuszczalnych poziomów pól elektromagnetycznych w środowisku (Dz.U. 2022 poz. 2630), dotyczących źródła wymagań, które muszą być spełnione, w oparciu o zasadę podejmowania decyzji zgodną z pkt. 26 Rozporządzenia Ministra Klimatu z dnia 17 lutego 2020 r. (Dz.U. 2022 poz. 2630), na podstawie wyników pomiarów pól elektromagnetycznych wykonanych w dniu 23.06.2023 stwierdzono, że wszystkie wyniki przeprowadzonych pomiarów w danym obszarze pomiarowym oraz wyznaczone na tej podstawie wskaźniki WME oraz WMH są mniejsze od wartości dopuszczalnych – zgodnie z przepisami wydanymi na podstawie art. 122 ust. 1 ustawy z dnia 27 kwietnia 2001 r. – Prawo ochrony środowiska – załącznikiem do Rozporządzenia Ministra Klimatu i Środowiska z dnia 17 lutego 2020 r. w sprawie sposobów sprawdzania dotrzymania dopuszczalnych poziomów pól elektromagnetycznych w środowisku (Dz.U. 2022 poz. 2630, pkt 26).

8. Oświadczenie.

Wyniki badania odnoszą się wyłącznie do badanego obiektu.

Bez pisemnej zgody sprawozdanie nie może być powielane inaczej, jak tylko w całości.

Uwagi i zastrzeżenia przyjmowane są w formie pisemnej.

9. Spis załączników.

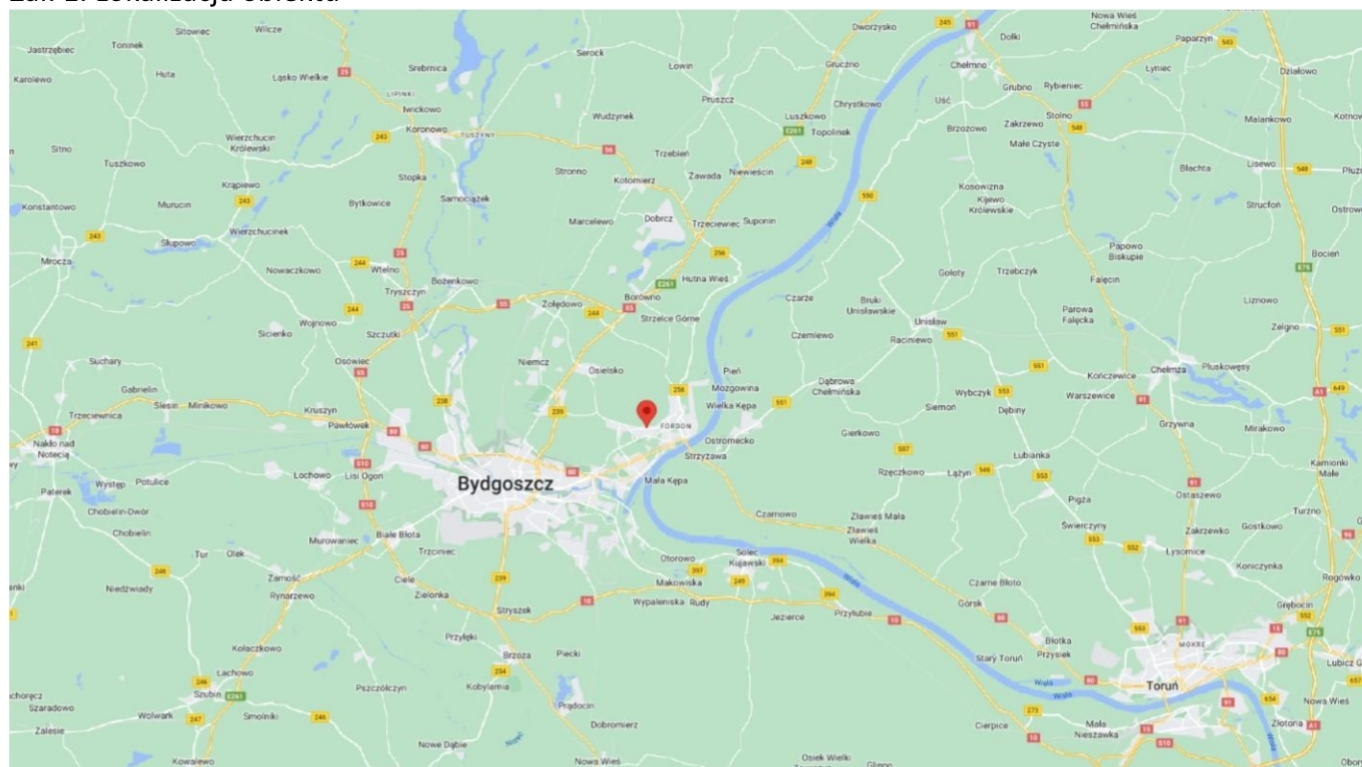
Zał. 1. Lokalizacja obiektu.

Zał. 2. Widok pionów pomiarowych

Zał. 3. Załączniki graficzne

Koniec sprawozdania

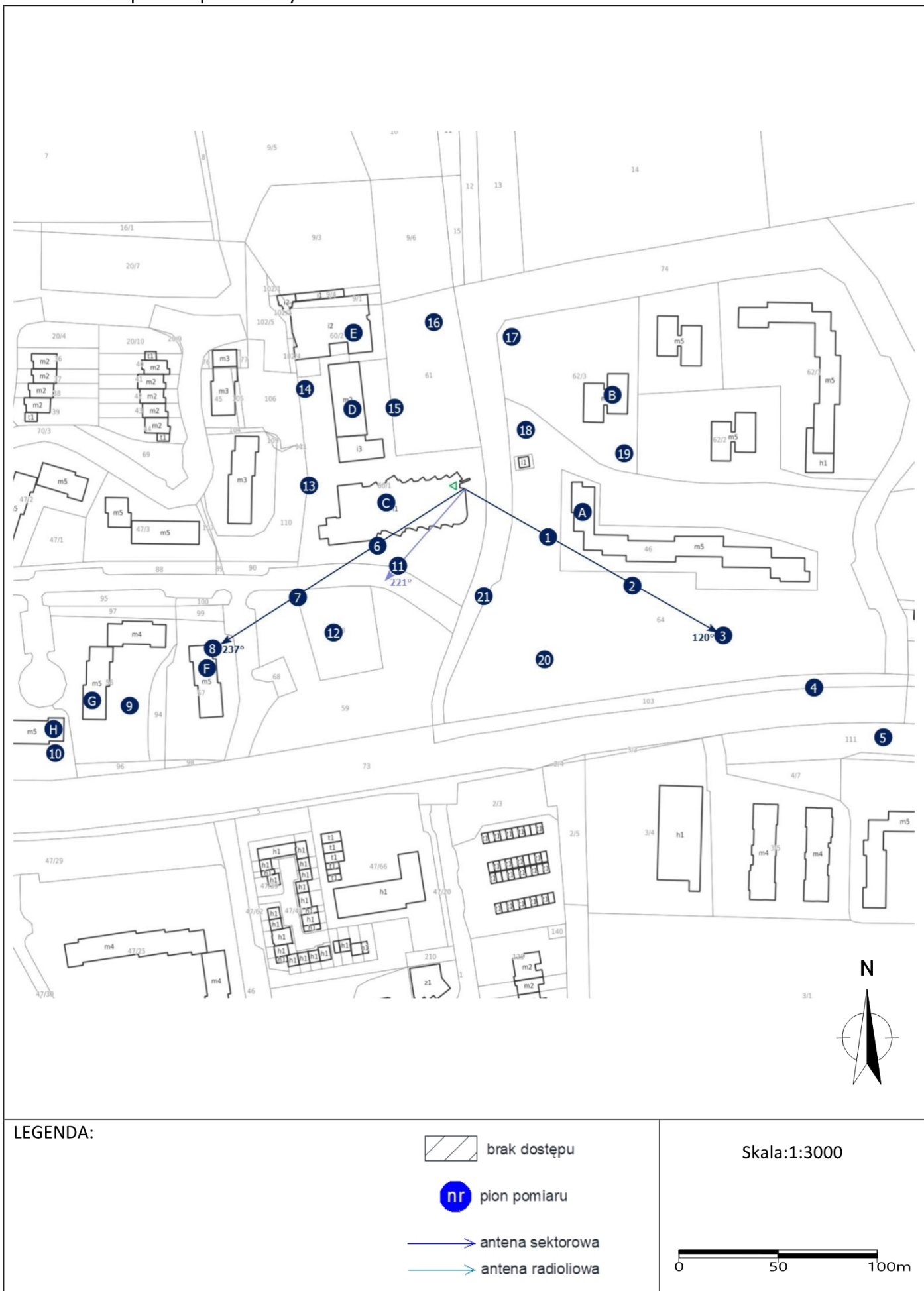
Zał. 1. Lokalizacja obiektu



Współrzędne geograficzne

długość:	18°08'04.92"E
szerokość:	53°09'15.84"N

Załącznik 2. Widok pionów pomiarowych



Załącznik 3. Załączniki graficzne.

